

INTERNATIONAL ATOMIC ENERGY AGENCY
UNITED NATIONS EDUCATIONAL, SCIENTIFIC AND CULTURAL ORGANIZATION



INTERNATIONAL CENTRE FOR THEORETICAL PHYSICS
34100 TRIESTE (ITALY) - P.O. B. 586 - MIRAMARE - STRADA COSTIERA 11 - TELEPHONE: 3240-1
CABLE: CENTRATOM - TELEX 400892-I

H4.SMR/193 - 34

"COLLOQUE INTERNATIONAL SUR LA SCIENCE DES MATERIAUX POUR L'ENERGIE".
(26 août - 11 septembre 1986).

"MATERIAUX ADAPTES A LA CONVERSION, AU TRANSPORT ET AU STOCKAGE
DE L'ENERGIE".

Mavinga Banyanguka
E.N.E.A. - Casaccia
Rome, Italie

Ces notes de recherche provisoires, sont destinées aux participants. Eventuellement, d'autres copies seront disponibles au bureau 231.

MATERIAUX ADAPTES A LA CONVERSION, AU TRANSFERT ET AU STOCKAGE DE L'ENERGIE.

par MAVINGA BANYANGUMUKA

BNEA - CASACCIA

SOMMAIRE .

1. Avant - propos
2. Introduction
3. Description du système
4. Tableau des paramètres mesurés
5. Présentation des résultats
6. Conclusion

REPONS
REPONSE DE L'ARCS SOLAR 16-2000
EN PRESENCE D'UNE CHARGE

1. AVANT-PROPOS.

Alors que l'effet photovoltaïque peut s'observer dans la nature dans une large variété de matériaux, les semi-conducteurs offrent l'avantage d'un meilleur rendement une fois exposés au rayonnement solaire.

Une de nombreuses applications de l'interaction entre les matériaux semi-conducteurs et l'énergie solaire est le phénomène de la conversion photovoltaïque consistant en la transformation directe de l'énergie solaire en énergie électrique.

En vue de l'application d'un tel système dans des communautés rurales, des expériences sont menées à l'ENEA-CASACCIA (Rome) et les résultats dont il sera question dans les lignes qui suivent traduisent la réponse de cette installation photovoltaïque expérimentale.

Point n'est besoin de souligner que les caractéristiques essentielles des cellules photovoltaïques - courant, tension, et rendement - sont sujettes à des fluctuations que l'on peut d'une manière générale classer en deux groupes:

- les fluctuations indépendantes de la cellule elle-même telles que les données météorologiques (ensoleillement, température ambiante, vitesse du vent) et l'angle d'inclinaison de la cellule par rapport à la direction du rayonnement,
- celles inhérentes à la cellule telles que sa température, sa dégradation due au vieillissement...

Les expériences menées sur ce cas précis de communautés rurales n'ayant que très peu duré, il ne sera pas possible de fournir des fluctuations notables.

A titre d'exemple, il serait intéressant d'examiner la variation du rendement d'une cellule photovoltaïque avec sa dégradation, sa température...

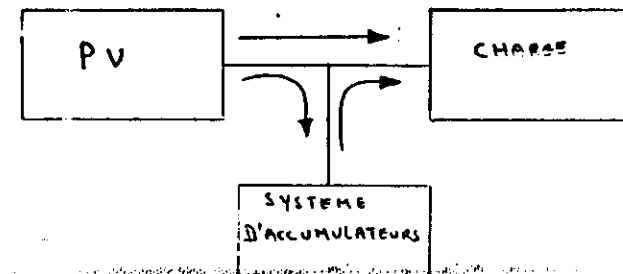
Pour ce faire, l'idéal serait d'étaler les expériences sur plusieurs années afin de dégager d'un échantillon plus représentatif des conclusions tant cohérentes que fiables.

2. INTRODUCTION.

Le système expérimental - afin de minimiser les problèmes ultérieurs d'entretien - se divise en 3 parties:

- un ensemble de panneaux photovoltaïques
- un système d'accumulateurs et
- une charge variable.

Ce qui schématiquement se traduit par la figure ci-dessous:



L'objectif visé est de déterminer la réponse du système n'étant donné que les 3 entités ci-dessus ou mieux en absence de tout générateur de secours (back up).

Les résultats obtenus se répartissent en 3 groupes selon qu'ils se rapportent

- au champ photovoltaïque
- au système d'accumulateur ou
- à la charge.

3. DESCRIPTION DU SYSTEME.

a) Champ photovoltaïque.

- puissance nominale: 1.2 kW
- site: Capanna (ENEA -CASACCIA Rome)

- coordonnées géographiques:
 - 12°18'8" longitude Est
 - 41°48' latitude Nord
- altitude moyenne: 131m
- cellules photovoltaïques:
 - type (monocristallines circulaires) ARCO SOLAR 16-2000
 - 10 Cm de diamètre
 - traitement: texturing
 - η : 10% théorique
- modules photovoltaïque
 - 35 cellules en série /module.
 - puissance nominale: 33 Wp
 - à 28°C et 1 soleil: Voc= 20.3V, Isc= 2.3A, Vm=16.1V, Im=2.05A
Pm= 33 W
 - à 45° et 1 soleil: Voc= 18.9V, Isc= 2.3A, Vm=14.6V, Im=2.05A
Pm= 30W
 - fill factor: 0.70

b) Système d'accumulateurs.

- type: TUDOR (Italie)
- couple: plomb/acide sulfurique supporter un grand nombre de cycles.
- capacité nominale: 500 Ah
- tension nominale: 12 V
- état de charge: contrôlé par un B.C.C. (Battery Charge Control)

c) Charge (variable).

Elément	Puissance
- 2 lampes à incandescence	2 * 60 W
- 4 " "	4 * 100 W
- 1 frigo	55 W
- 1 congélateur	55 W

La charge est comutable à l'aide d'un Software écrit compte tenu des éléments ci-dessous:

- mois en cours
- heure de la journée
- état de charge du système d'accumulateurs

4. TABLEAU DES PARAMETRES ENREGISTRES.

PARAMETRE	NOMBRE DE SONDES	MARGE	UNITE	INTERVALLE DE MESURE
- ensoleillem	3	0 - 2000	W/m2	2 min
- temp. ambiante	1	—	°C	"
- temp. panneaux	1	—	°C	"
- courant des panneaux	6	0 - 2.5	A	"
- tension aux bornes des panneaux	6	0 - 25	V	"
- tension aux bornes de la batterie	1	0 - 15	V	"
- courant dans la charge	1	0 - 60	A	"
- bilan énergétique	1	—	kWh	20 min

5. PRESENTATION DES RESULTATS.

Les résultats relatifs à 1986 étant en cours d'élaboration, voici ceux se rapportant à une partie de 1985.

a) Réponse du champ photovoltaïque.

Les caractéristiques essentielles rapportées en fonction du temps sont le courant, la tension et le rendement .

A titre d'exemple, une réponse typique du champ photovoltaïque un jour d'hiver est rapportée à la figure 1 tandis que la figure 2 donne une idée générale du bilan énergétique durant un mois d'hiver.

De ce bilan on construit les courbes relatives à l'énergie reçue par le système de panneaux, celle qui est produite et partant le rendement des cellules photovoltaïques ARCO SOLAR 16 - 2000 (cfr figure 3, figure 4 et figure 5).

Aux approches de l'été (les données relatives aux mois d'été faisant défaut) les résultats sont rapportés aux figures 6, 7 et 8.

b) Réponse de la charge.

La charge, comme précédemment établi, est variable.

Dans le même ordre d'idées que dans le paragraphe ci-avant, nous présentons "la consommation" de la charge relative à l'hiver (figure 9) et aux approches de l'été (figure 10)

c) Réponse du système d'accumulateurs.

Les batteries, ainsi que déjà défini, doivent remplir 2 fonctions:

- 1) suppléer la charge aussitôt que le champ que le champ photovoltaïque ne fournit plus l'énergie nécessaire.
- 2) emmagasiner l'excès d'énergie (pour autant que sa charge le permette) fournie par le champ photovoltaïque.

Ceci nous donne deux courbes de définition: l'énergie absorbée par la batterie lorsqu'elle se comporte comme une charge et celle qu'elle fournit à la charge en tant que générateur.

Les figures 11 et 12 se rapportent à l'hiver tandis que les figures 13 et 14 traduisent un mois aux approches de l'été.

d) Bilan énergétique.

En vue d'une interprétation assez correcte, les un tableau résume les résultats recoltés soit en hiver (figure 15) qu'aux approches de l'été (figure 73).

6. CONCLUSION.

Bien que l'énergie solaire soit à la fois gratuite et inépuisable, elle pose le grand problème d'être variable.

En effet, toutes les variations journalières et annuelles - doublées de celles moins prévisibles dues au climat - influencent de manière notable le rendement d'une cellule photovoltaïque, cette variable très importante dans la définition des performances d'une cellule photovoltaïque.

En outre, dans la conversion photovoltaïque, plus de rayonnement solaire ne signifie pas un rendement plus élevé car; celui-ci diminue avec la température de la cellule photovoltaïque, l'idéal étant qu'elle augmente le moins possible par rapport au milieu ambiant.

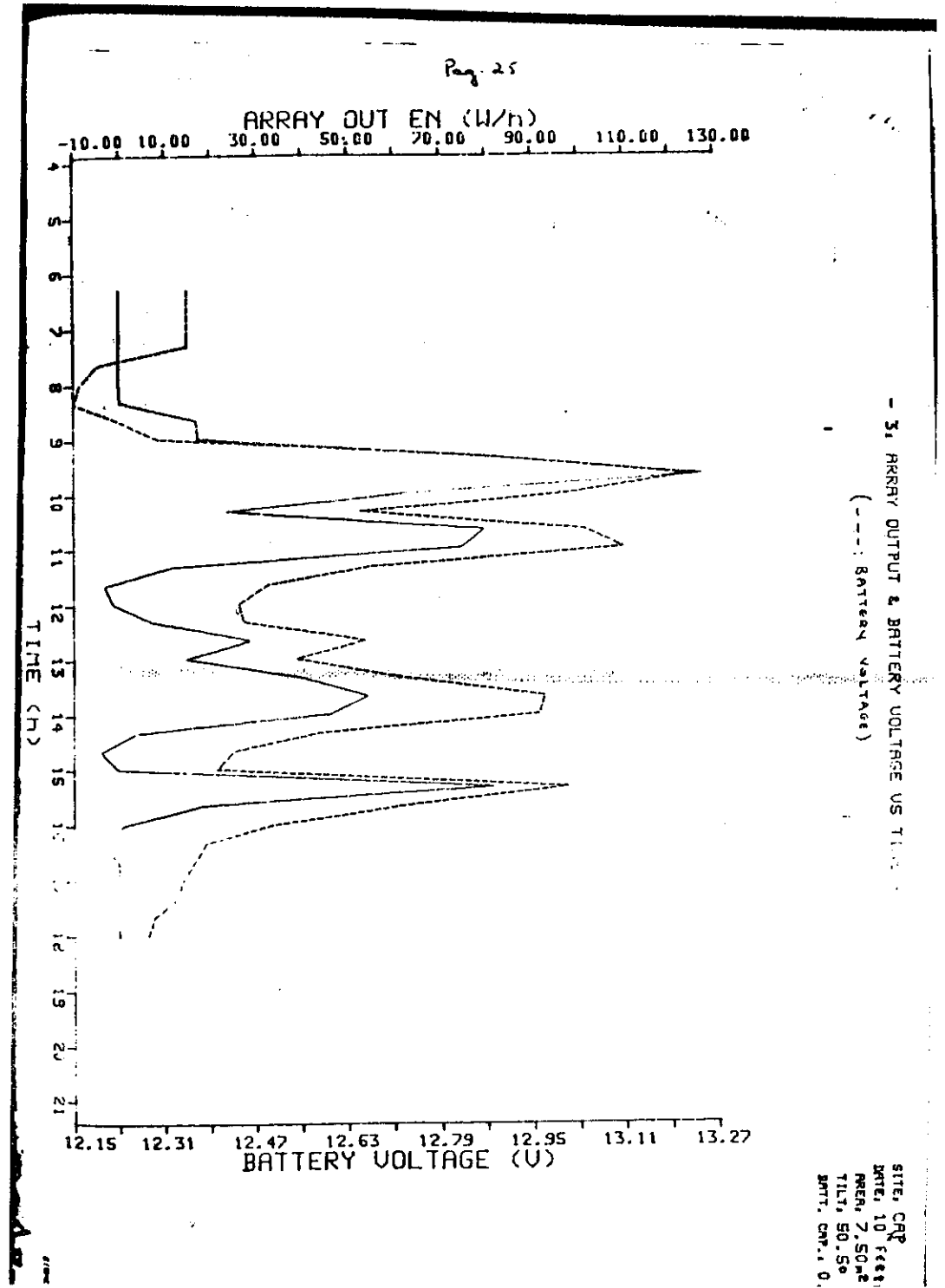
Les variations ci-dessus indiquées une fois prises en considération dégagent aussitôt l'importance d'un système de stockage de sorte que l'énergie à fournir à la charge soit toujours disponible.

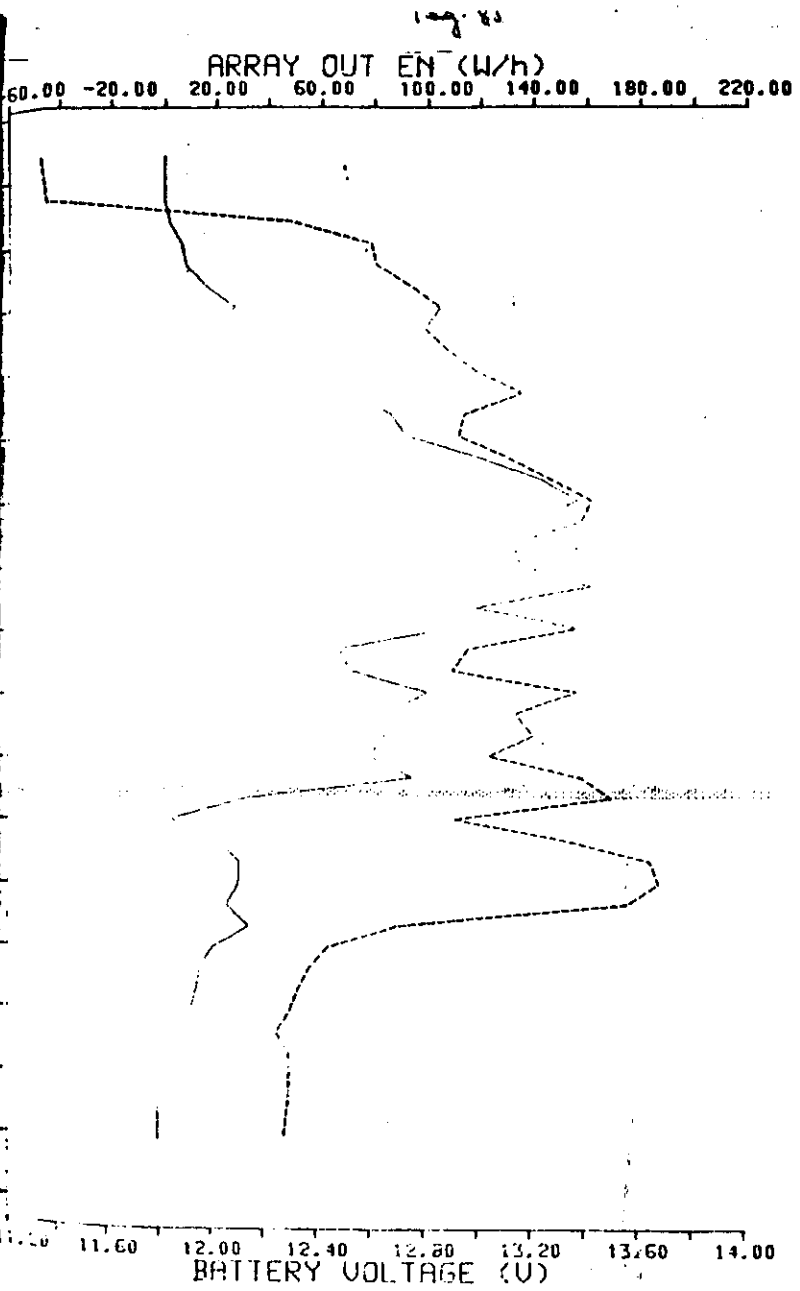
Ce système de stockage chimique - le système photovoltaïque produisant de l'énergie sans partie mobile - permet d'une part de "nourrir" la charge aussitôt que l'énergie produite par les panneaux s'avère insuffisante et de l'autre, de maintenir la tension aux bornes de la cellule dans les limites prescrites.

L'ARCO SOLAR 16-2000 n'échappe pas à toutes ces considérations. Des calculs minutieux ont permis étant donné le bilan énergétique approprié de prévoir à partir de la charge, le dispositif de stockage adéquat ainsi que la superficie des panneaux nécessaire. En effet, il faut que soit vérifiée de la meilleure manière possible l'égalité énergétique au noeud des trois entités dont il a été question tout au long de ces lignes.

BIBLIOGRAPHIE.

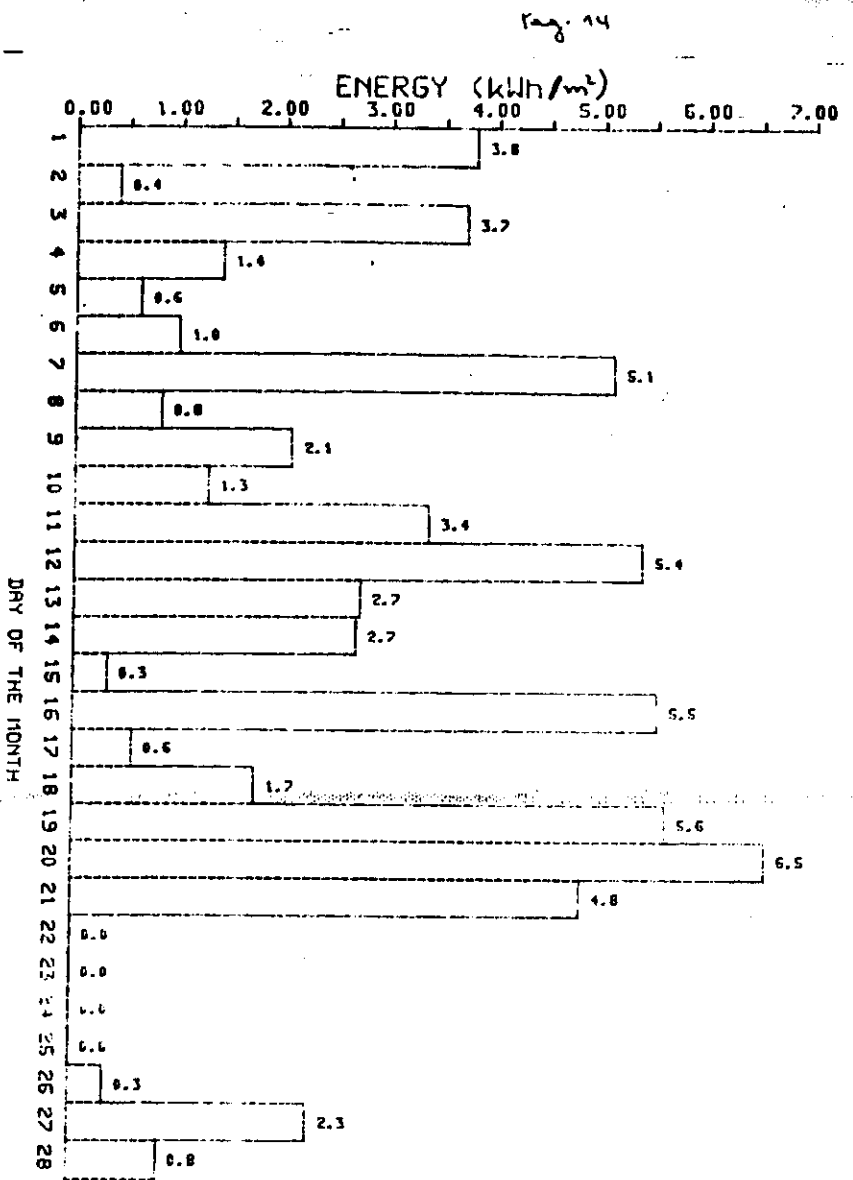
1. MAX. J.O. STRUTT : Semi conductor devices.
Academic Press New York London 1965
2. A.A. M. SAYIGH : Solar Energy Engineering
Academic Press New York 1977
3. FRANCIS DE WINTER AND MICHAEL COX: Mankind's Future Source of Energy -
Proceedings of the International Solar Energy Society Congress
New Delhi 1978
4. R. VAN OVERSTRAETEN: 2nd E.E. Photovoltaic Energy Conference
Berlin (West) April 1979
5. F.P. CALIFANO: Course on Photovoltaic Solar Systems.
Theoretical aspects and material problems
Urbino SOGESTA 1983
6. MAVINGA BANYANGUMUKA: Photovoltaic for Residential Purposes.
Recueil des mesures effectuées à l'ENEA - Casaccia (Inédit)
Rome 1985





- 3- ARRAY OUTPUT & BATTERY VOLTAGE VS TIME -
 (---) Battery Voltage

SITE: CRP
 DATE: 11 MAY 85
 AREA: 1.20 m²
 TILT: 50.5°
 INTL: CRP, 0.50 kWh

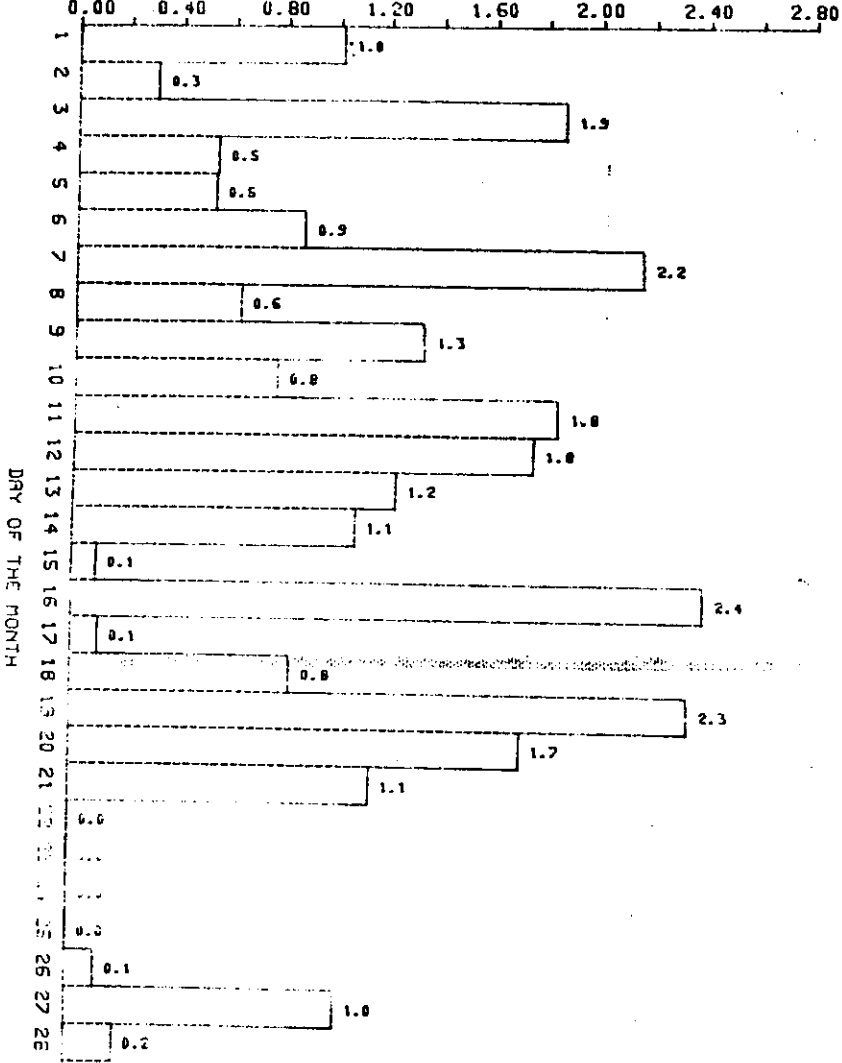


- PLOT 1: DAILY INCIDENT INSOLATION ON THE ARRAY -

SITE: CRP
 YEAR: 85
 MONTH: FEB
 AREA: 1.20 m²
 TILT: 50.5°
 INTL: CRP, 0.50 kWh

121

ENERGY (kWh)

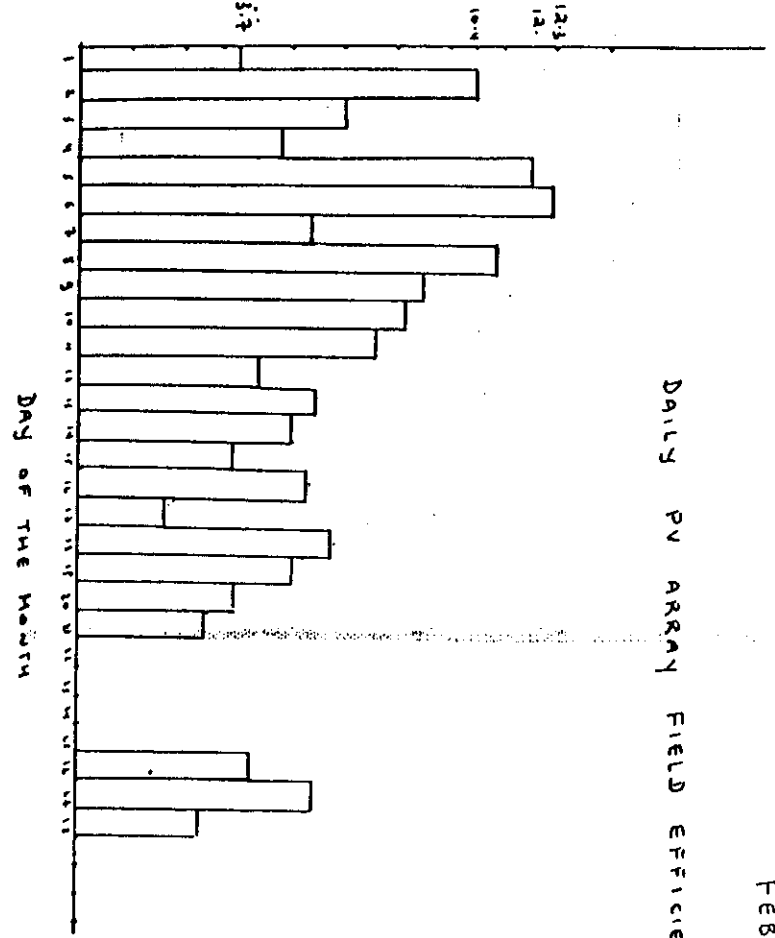


DAY OF THE MONTH

- PLOT 2 DAILY ARRAY OUTPUT -

SITE, CRP
 YEAR, 85
 MONTH, FEB
 AREA, 7.20 A2
 TILT, 50.5°
 INTL. CRP., 0.50 W

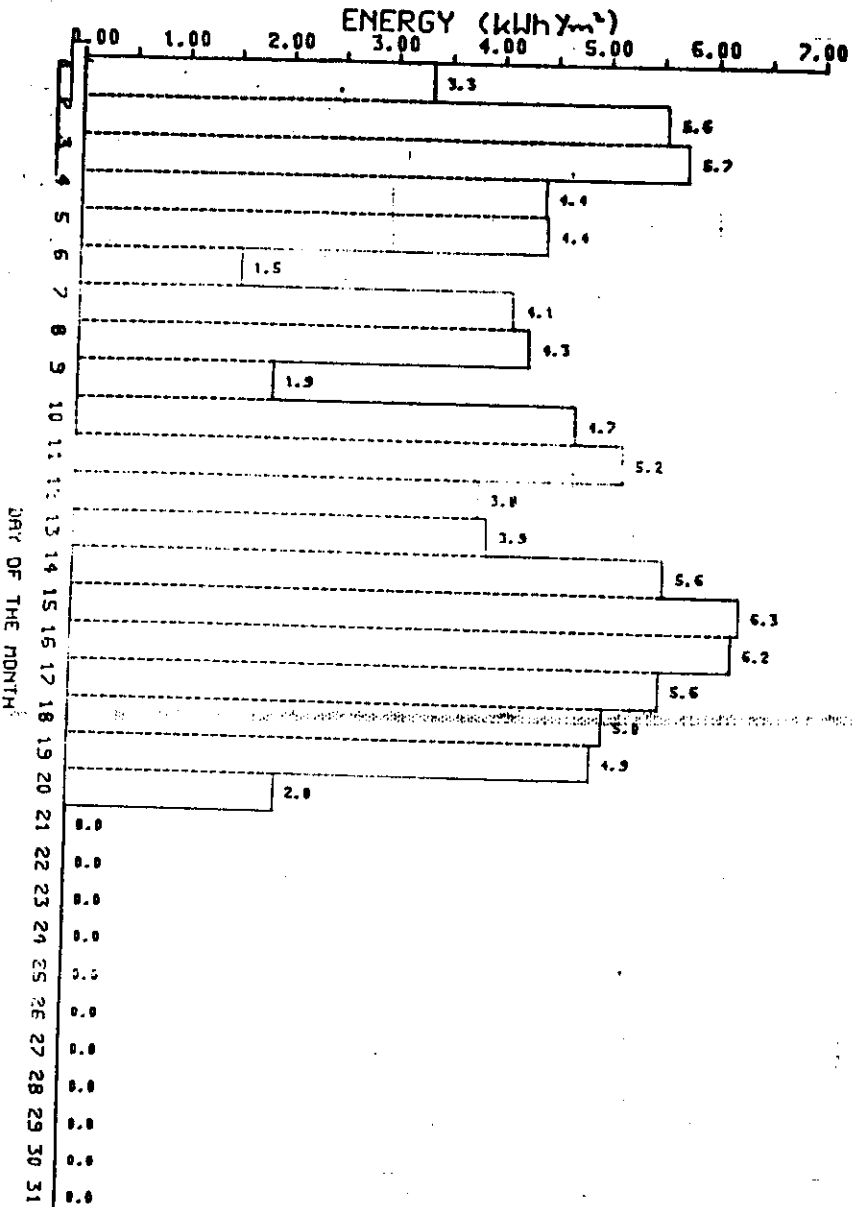
EFFICIENCY (%)



DAY OF THE MONTH

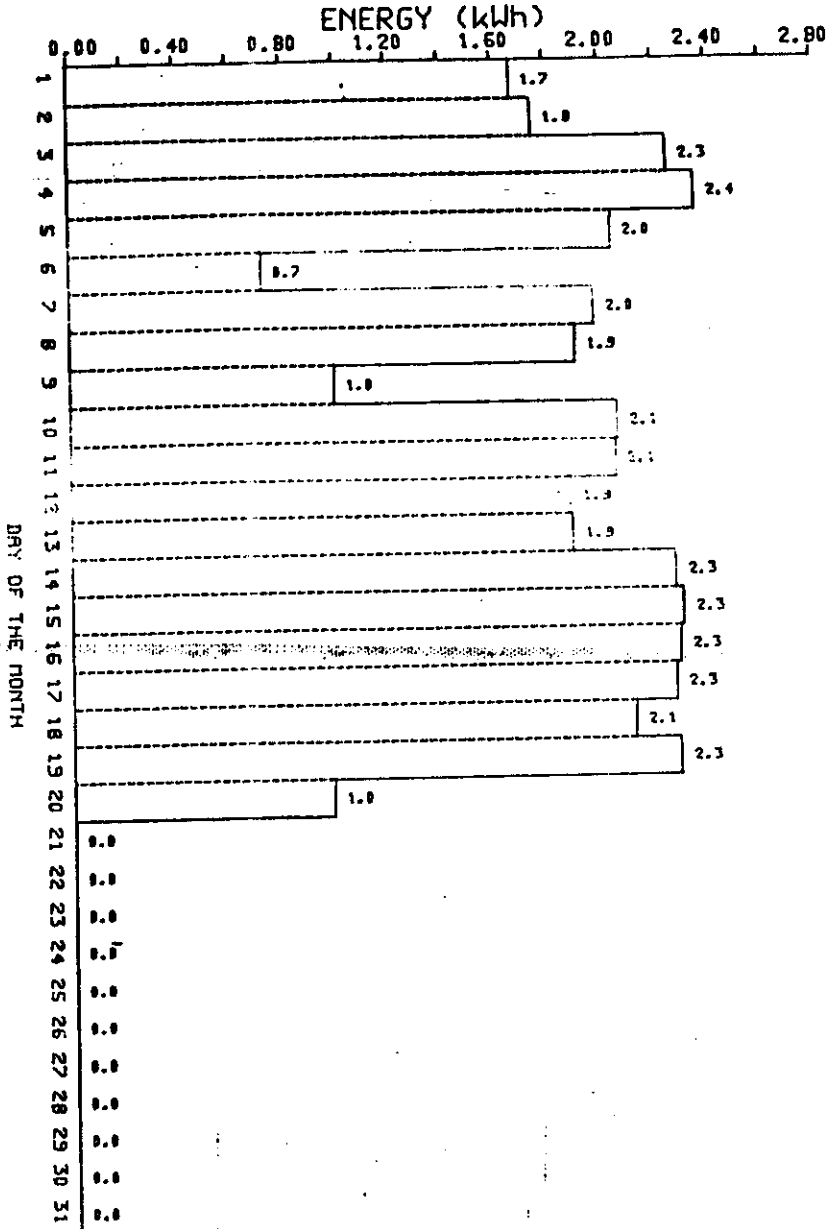
DAILY PV ARRAY FIELD EFFICIENCY

FEBRUARY 1985



- PLOT 1: DAILY INCIDENT INSOLATION ON THE ARRAY -

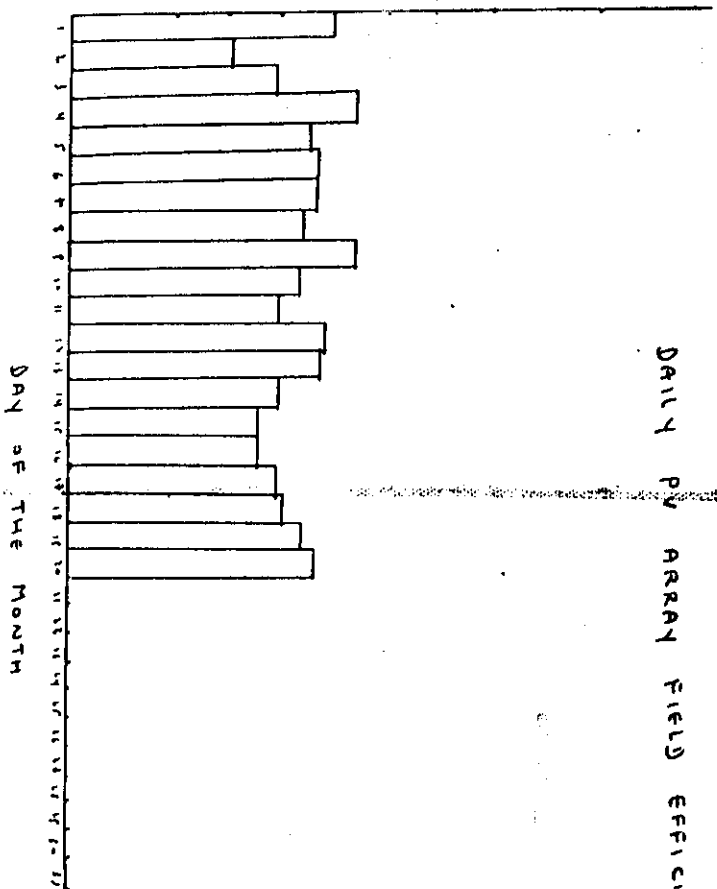
SITE: CAP
 YEAR: 85
 MONTH: DRY
 AREA: 2.80 m²
 TILT: 50.5°
 DIRTY: 0.50



- PLOT 2: DAILY ARRAY OUTPUT -

SITE: CAP
 YEAR: 85
 MONTH: DRY
 AREA: 2.80 m²
 TILT: 50.5°
 DIRTY: 0.50

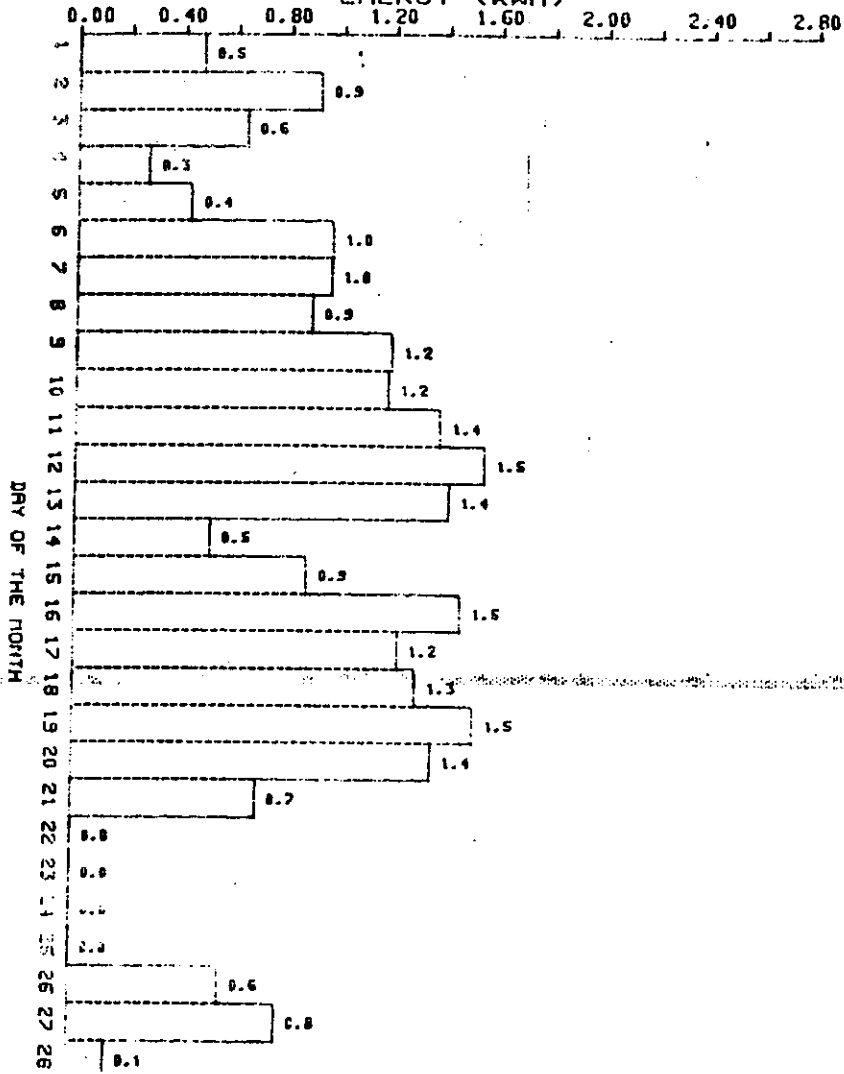
EFFICIENCY (%)



DAILY PV ARRAY FIELD EFFICIENCY

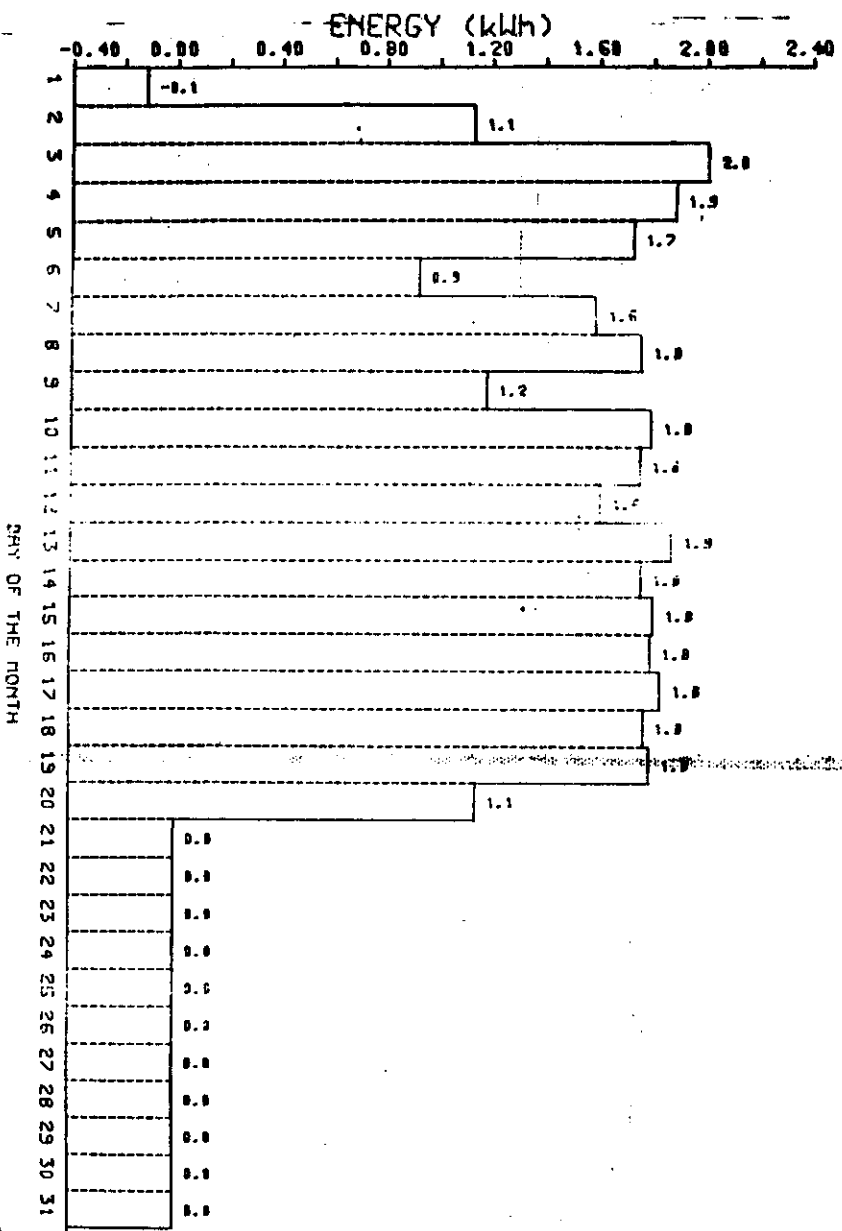
MAY 1985

ENERGY (kWh)



DAILY ENERGY ABSORBED BY THE LOAD

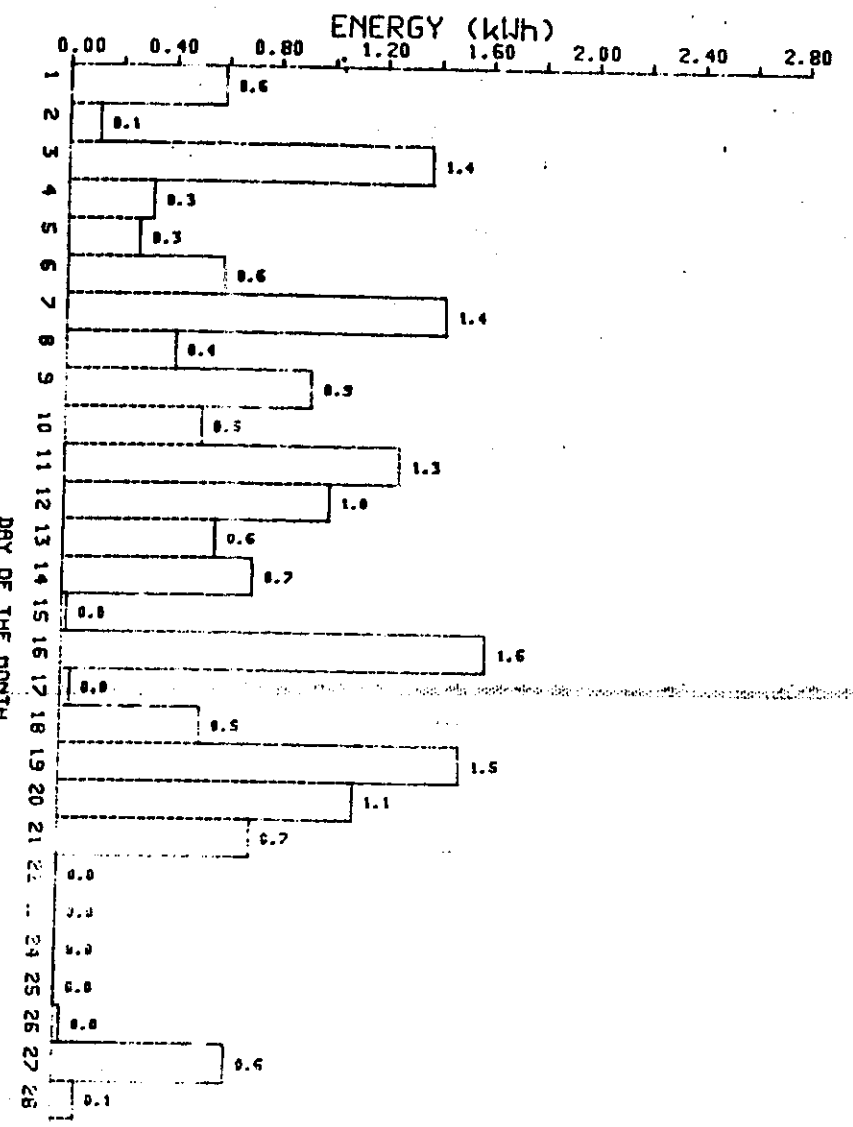
SITE, CRP
 YEAR, 85
 MONTH, FEB
 AREA, 7.20 m²
 TILT, 50.5°
 BATT. CAP., 0.50 kWh



- PLOT 5, DAILY ENERGY ABSORBED BY THE LOAD -

SITE, CAP
YEAR, 85
NORTH, DRY
AREA, 7.60 sq ft
TILT, 50.56
BATT. CAP., 0.50 kWh

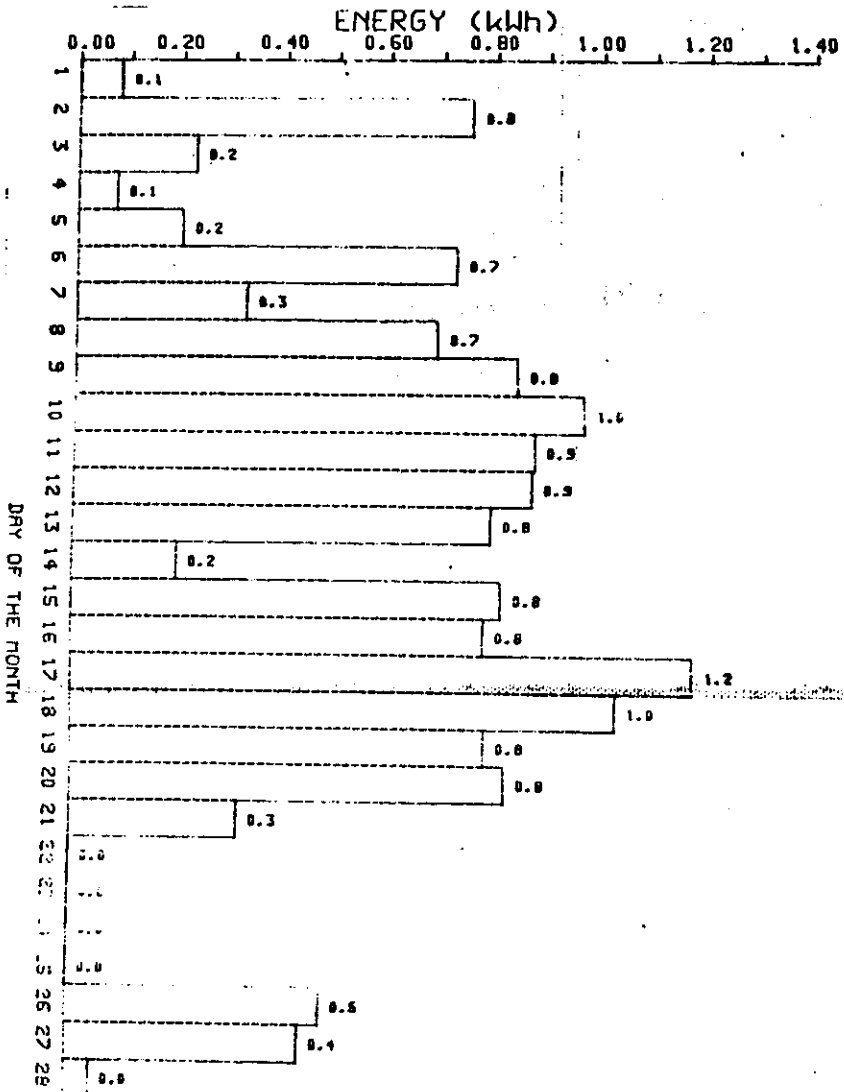
11- 11/11/85



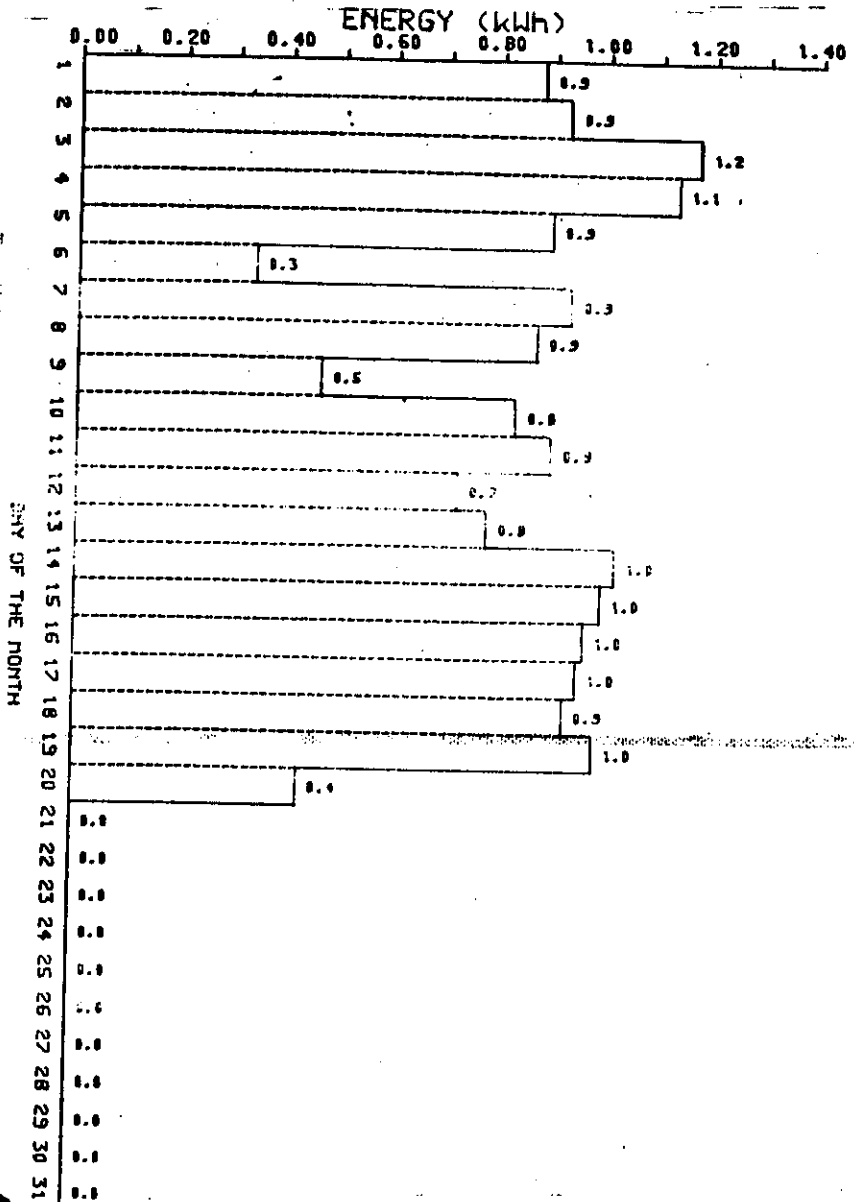
- PLOT 3, DAILY ENERGY ABSORBED BY THE LOAD -

SITE, CAP
YEAR, 85
NORTH, FEB
AREA, 7.20 sq ft
TILT, 50.56
BATT. CAP., 0.50

11- 11/11/85



SITE, CAP
 YEAR, 85
 MONTH, FEB
 AREA, 7.20 m²
 TILT, 50.5°
 BATT. CAP., 0.50kWh

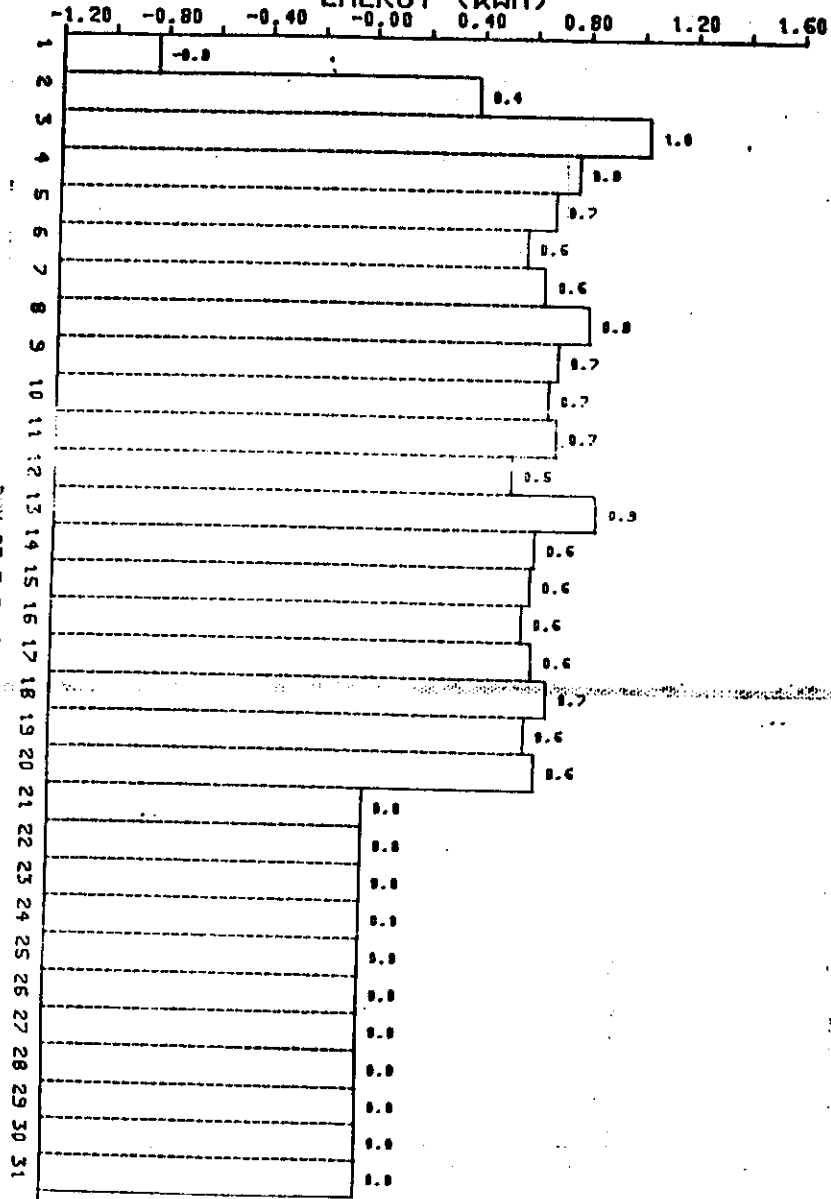


- PLOT 4: DAILY ENERGY EXTRACTED FROM THE BATTERY -

- PLOT 3: DAILY ENERGY ABSORBED BY THE BATTERY -

SITE, CAP
 YEAR, 85
 MONTH, FEB
 AREA, 7.20 m²
 TILT, 50.5°
 BATT. CAP., 0.50kWh

ENERGY (kWh)



- PLOT 4, DAILY ENERGY EXTRACTED FROM THE BATTERY -

SITE: CAP
 YEAR: 85
 NORTH: RRY
 AREA: 7.60 AC
 TILT: 50.5°
 BATT: 500.0 SEC.

DAY OF MONTH	TIME OF RECORD	ENERGY INPUT kWh	PERCENT OF REQ	MONTH: FEBRUARY ENERGY INPUT kWh	BATTERY CONSUMPTION kWh	BATTERY HELP kWh	LOAD CONSUMPTION kWh	DATE: EQU/ETW	DATE: EQU/EMW
1	8:0	27.3	33.3	1.0	0.4	0.1	0.5	3.712	0.586
2	14:0	2.9	58.3	0.3	0.1	0.2	0.9	10.477	0.175
3	14:0	26.7	75.0	1.9	1.4	0.2	0.4	4.995	1.079
4	6:0	10.0	25.0	0.5	0.3	0.1	0.4	5.375	0.311
5	10:0	4.4	41.7	0.5	0.3	0.2	0.4	12.076	0.207
6	18:0	7.1	58.3	0.9	0.6	0.7	1.0	5.885	0.507
7	14:0	28.7	78.0	2.2	1.4	0.3	1.0	10.821	1.231
8	24:0	1.4	38.3	0.4	0.4	0.7	0.9	9.042	0.427
9	24:0	5.1	100.0	1.3	0.9	0.8	1.2	8.525	0.424
10	24:0	24.1	100.0	1.8	1.3	1.0	1.2	7.641	1.840
11	24:0	28.7	100.0	1.8	1.0	0.9	1.5	4.524	1.812
12	24:0	18.5	75.0	1.1	0.6	0.8	1.4	6.326	0.712
13	14:0	2.3	58.3	0.1	0.7	0.2	0.5	5.618	0.425
14	18:0	39.7	100.0	2.4	1.4	0.9	1.2	4.067	0.854
15	24:0	4.0	100.0	0.1	0.0	1.5	1.5	6.022	1.284
16	24:0	12.4	100.0	0.8	1.5	1.0	1.2	2.549	0.485
17	24:0	40.3	100.0	2.3	1.5	0.8	1.2	6.749	0.485
18	24:0	21.5	100.0	1.1	1.1	0.8	1.2	5.804	1.353
19	24:0	7.9	100.0	1.1	0.7	0.3	0.7	3.644	0.792
20	24:0	21.5	100.0	1.1	0.0	0.0	0.0	3.231	0.644
21	24:0	0.0	75.0	0.0	0.0	0.0	0.0	9.000	0.000
22	18:0	0.0	100.0	0.0	0.0	0.0	0.0	9.000	0.000
23	24:0	0.0	100.0	0.0	0.0	0.0	0.0	8.000	0.000
24	10:0	2.4	50.0	0.1	0.0	0.0	0.0	4.202	0.000
25	10:0	9.0	75.0	0.1	0.0	0.0	0.0	4.121	0.000
26	18:0	16.2	75.0	0.2	0.0	0.0	0.0	4.121	0.000
27	4:0	4.1	18.7	0.2	0.1	0.4	0.1	3.064	0.180

DATE: 1st, Daily Array Operating Efficiency of the daily performance of the array.
 DATE: 1st, Daily Array Capacity Factor of the ratio between the daily output energy from the array and the total one of AMI for the whole day.
 0000: Data Item

DAY OF MONTH	TYPE OF RECORDS	ENERGY BALANCE		NOMININAL		YEAR:1982		PAGE EQUI/ETH	DACP EQUI/ENDM
		ENERGY INPUT KWH	PERCENT OF REC	ENERGY OUTPUT KWH	BATTERY CONSUM AWH	BATTERY HELP AWH	LOAD CONSUM KWH		
1	24.0	24.0	100.0	1.7	0.7	-0.8	59.1	4.987	0.869
2	15.0	40.0	106.3	1.0	0.4	0.4	51.1	4.387	1.815
3	24.0	41.4	106.0	2.3	1.2	1.0	52.0	5.454	1.506
4	24.0	24.0	100.0	2.4	1.1	0.8	51.9	7.430	1.485
5	24.0	31.9	100.0	2.7	0.7	0.7	51.7	6.389	1.485
6	24.0	30.8	100.0	2.6	0.2	0.6	50.9	4.340	0.418
7	24.0	29.8	100.0	1.9	0.7	0.6	51.8	4.476	1.443
8	24.0	13.4	100.0	1.0	0.2	0.8	51.2	6.163	1.101
9	24.0	34.1	100.0	2.1	0.8	0.7	51.8	7.403	0.575
10	24.0	27.4	100.0	1.9	0.8	0.7	51.8	4.045	1.192
11	24.0	27.7	100.0	1.9	0.7	0.5	51.8	5.482	1.187
12	24.0	28.3	100.0	1.9	0.8	0.9	51.8	4.801	1.088
13	24.0	44.2	100.0	2.3	0.6	0.6	51.8	5.949	1.310
14	24.0	44.2	100.0	2.3	1.0	0.4	51.8	5.071	1.093
15	24.0	44.2	100.0	2.3	0.6	0.6	51.8	5.104	1.323
16	24.0	44.2	100.0	2.3	1.0	0.4	51.8	5.646	1.323
17	24.0	35.1	100.0	2.3	0.9	0.6	51.8	4.437	1.323
18	24.0	35.6	100.0	2.3	0.9	0.7	51.8	4.437	1.323
19	24.0	20.0	83.3	2.3	1.0	0.6	51.8	4.865	0.848
20	0.0	0.0	0.0	0.0	0.0	0.0	0.0	0.000	0.000
21	0.0	0.0	0.0	0.0	0.0	0.0	0.0	0.000	0.000
22	0.0	0.0	0.0	0.0	0.0	0.0	0.0	0.000	0.000
23	0.0	0.0	0.0	0.0	0.0	0.0	0.0	0.000	0.000
24	0.0	0.0	0.0	0.0	0.0	0.0	0.0	0.000	0.000
25	0.0	0.0	0.0	0.0	0.0	0.0	0.0	0.000	0.000
26	0.0	0.0	0.0	0.0	0.0	0.0	0.0	0.000	0.000
27	0.0	0.0	0.0	0.0	0.0	0.0	0.0	0.000	0.000
28	0.0	0.0	0.0	0.0	0.0	0.0	0.0	0.000	0.000
29	0.0	0.0	0.0	0.0	0.0	0.0	0.0	0.000	0.000
30	0.0	0.0	0.0	0.0	0.0	0.0	0.0	0.000	0.000
31	0.0	0.0	0.0	0.0	0.0	0.0	0.0	0.000	0.000

DAGE: 1.8. Daily Approx Operating Efficiency of
 the daily average of the array
 DACF: 1.9. Daily Approx Capacity Factor of the array
 between the daily output energy from the array and
 the ideal one at MIT for the whole day
 00001 data zero